

- [4] Ekardt W. // Phys. Rev. B. 1985. V. 31. N 10. P. 6360—6370.  
 [5] Ekardt W. // Phys. Rev. B. 1984. V. 29. N 4. P. 1558—1564.  
 [6] Власов С. В. и др. Изв. АН СССР, сер. физ. 1986. Т. 50. № 7. С. 1336—1342  
 [7] Пайнс Д. Элементарные возбуждения в твердых телах. М.: Мир, 1965. 382 с.  
 [8] Блумштейн И. М., Власов С. В., Нижникова Г. П., Фарберович О. В. // Ден в ВИНИТИ. 1988. № 2791-B88. 41 с.  
 [9] Власов С. В., Куркина Л. П., Нижникова Г. П., Степанова Е. В., Фарберович О. В. // Ден в ВИНИТИ. 1988. № 4125-B88. 27 с.  
 [10] Герман М. М., Кунершмидт В. Я., Фарберович О. В. // ФТТ. 1988. Т. 30. № 8 С. 1822—1824.  
 [11] Немошкаленко В. В., Алешин В. Г. Теоретические основы рентгеновской эмиссионной спектроскопии. Киев: Наукова думка, 1974. 384 с.

Воронежский государственный университет  
 Воронеж

Поступило в Редакцию  
 16 августа 1988 г.

УДК 621.315.592

© Физика твердого тела, том 32, № 4, 1990  
 Solid State Physics, vol. 32, N 4, 1990

## ВЛИЯНИЕ СЛАБОИНТЕНСИВНОГО ЛАЗЕРНОГО ИЗЛУЧЕНИЯ НА ЭКСИТОННЫЕ СПЕКТРЫ ЛЮМИНЕСЦЕНЦИИ СУЛЬФИДА КАДМИЯ

*Е. В. Орешко*

Воздействие лазерного излучения большой интенсивности ( $W > 10^7$  Вт/см<sup>2</sup>) на сульфид кадмия приводит к образованию точечных дефектов, например вакансий серы  $V_S$ , междуузельной серы  $S_i$ , и изменяет фотоэлектрические и люминесцентные свойства монокристалла [1, 2].

В [3] методом электронной Оже-спектроскопии показано, что облучение в воде монокристаллов CdS поверхностно поглощаемым лазерным излучением ( $W=0.1$  Вт/см<sup>2</sup>) приводит к обогащению кадмием приповерхностной области толщиной 0.1—0.15 мкм, под которой появляется слой с избытком серы, причем при длительном облучении (30 мин) кадмий выделяется на поверхности в виде пленки. Причиной обогащения кадмием приповерхностной области может являться дрейф междуузельного кадмия в поле приповерхностного изгиба зон. Если этот механизм реализуется, то при небольших дозах облучения в спектрах экситонной люминесценции должны наблюдаться изменения, обусловленные увеличением концентрации доноров, в частности кадмия междуузельного.

Нами исследовалось влияние облучения в воде на экситонные спектры фотолюминесценции сульфида кадмия. В опытах использовались высокоомные ( $\rho > 10^{10}$  Ом·см) чистые пластинчатые монокристаллы сульфида кадмия, выращенные пересублимацией. Монокристаллы облучались в дистиллированной воде при н. у. He—Cd лазером ( $\lambda=0.4416$  мкм,  $W=0.1$  Вт/см<sup>2</sup>) в течение 5—15 мин. Люминесценция исследовалась при 6 К при возбуждении He—Cd лазером с  $W=0.01$  Вт/см<sup>2</sup>.

До облучения в воде в спектрах люминесценции присутствовали сравнимые по интенсивности линии  $I_1$  ( $\lambda_m=4888.2 \text{ \AA}$ ) и  $I_2$  ( $\lambda_m=4865.5 \div 4869.5 \text{ \AA}$ ), обусловленные аннигиляцией экситонов, связанных на нейтральном акцепторе и доноре соответственно. После облучения в течение небольшого времени (5 мин) наблюдалось перераспределение по интенсивности между компонентами тонкой структуры (рис. 1): исчезала или ослаблялась компонента с  $\lambda_m=4866.9 \text{ \AA}$ , обусловленная экситоном, связанным на междуузельном литии  $Li_i$  [4], и усиливалась или появлялась компонента с  $\lambda_m=4869.5 \text{ \AA}$  (экситон, связанный на междуузельном кадмии [4]).

Для определения точного положения линии и ее изменений в результате облучения были выбраны монокристаллы, не имевшие тонкой структуры в  $I_2$ . В таких монокристаллах по мере увеличения времени облучения  $I_2$  вначале уширялась, у нее появлялось длинноволновое крыло, а затем ее максимум смещался в коротковолновую область, уменьшаясь по интенсивности (рис. 2). При времени облучения 15 мин сдвиг составил 3.5—4.0 Å (1.9—2.0 мэВ), а полуширина увеличилась от 1 до 2.2 мэВ. Линия люминесценции свободного А-экситона ( $\lambda_m = 4855.9$  Å) при облучении уширялась и смещалась в коротковолновую область на величину не менее 1.5 мэВ.

Известно, что при 4.2 К увеличение избыточной концентрации доноров ( $N_D - N_A$ ) в CdS приводит к асимметричному уширению  $I_2$ , а при ( $N_D - N_A$ ) >

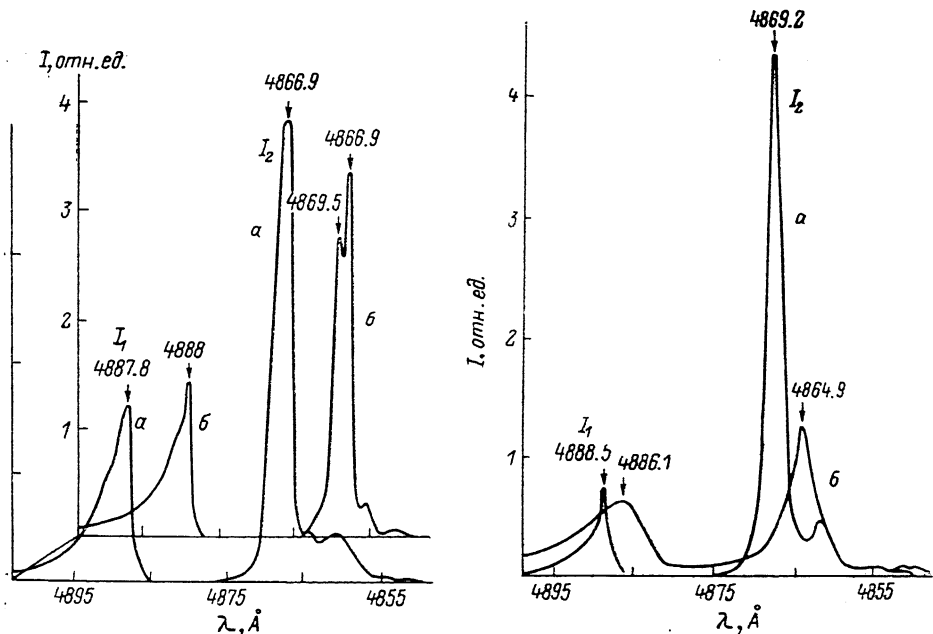


Рис. 1, 2. Спектр экситонной люминесценции монокристалла сульфида кадмия до (а) и после (б) облучения в воде.  $T = 5$  К.

>  $10^{18}$  см $^{-3}$  происходит сдвиг в коротковолновую сторону  $I_2$  и линии свободного А-экситона с уменьшением интенсивности [5, 6]. Согласно [5], сдвиг  $I_2$  на величину  $\sim 2$  мэВ происходит при ( $N_D - N_A$ ) >  $5 \cdot 10^{18}$  см $^{-3}$ . Основываясь на результатах [5, 6], можно полагать, что в нашем случае облучение в воде приводит к увеличению избыточной концентрации доноров в приповерхностной области, причем ( $N_D - N_A$ ) >  $5 \cdot 10^{18}$  см $^{-3}$ .

Интенсивность  $I_1$  после облучения слабо отличается от исходной. Это позволяет считать, что концентрация нейтральных акцепторов изменяется незначительно.

Увеличение ( $N_D - N_A$ ) нельзя объяснить ростом концентрации вакансий серы, являющихся донором, так как отсутствует линия  $I_2$  с  $\lambda_m = 4870.2$  Å, обусловленная аннигиляцией экситона, связанного на вакансии серы [7].

На наш взгляд, увеличение ( $N_D - N_A$ ) в приповерхностной области качественно можно объяснить дрейфом заряженных дефектов, вероятно междоузельных, в поле приповерхностного изгиба зон. Если учесть, что подвижность  $Li_i$  превышает подвижность  $Cd_i$  [4], то ослабление компоненты  $I_2$  с  $\lambda_m = 4866$  Å объясняется быстрым выходом лития на поверхность.

В заключение автор выражает благодарность О. Н. Таленскому и Св. А. Пендюру за предоставленные кристаллы.

- [1] Бродия М. С., Давыдова Н. А., Шаблей Ю. Ю. // ФТН. 1976. Т. 10. № 4. С. 625—629.
- [2] Косунская Н. Е., Маркевич Н. В., Моин М. Д. и др. // ФТТ. 1982. Т. 24. № 11. С. 3223—3228.
- [3] Игнатков В. Д., Камуз А. М., Орешко Е. В. и др. // УФЖ. 1987. Т. 32. № 1. С. 95—97.
- [4] Косунская Н. Е., Маркевич Н. В., Шаблей Ю. Ю. и др. // ФТН. 1981. Т. 15. № 2. С. 279—282.
- [5] Гросс Е. Ф., Пермогоров С. А., Резицкий А. Н. и др. // ФТН. 1973. Т. 7. № 7. С. 1225—1262.
- [6] Kukimoto H., Shionoya S., Toyotomi S., Morigaki K. // J. Phys. Soc. Jap. 1970. V. 28. P. 110—119.
- [7] Lider K. F., Novikov B. V., Permogorov S. A. // Phys. St. Sol. 1966. V. 18. P. K1—K4.

Институт полупроводников АН УССР  
Киев

Поступило в Редакцию  
16 июня 1989 г.

УДК 548.0 : 534

© Физика твердого тела, том 32, № 4, 1990  
Solid State Physics, vol. 32, № 4, 1990

## РЕНТГЕНОТОПОГРАФИЧЕСКАЯ ВИЗУАЛИЗАЦИЯ ПОЛЕЙ УПРУГИХ НАПРЯЖЕНИЙ, СОЗДАВАЕМЫХ УЛЬТРАЗВУКОМ В КРИСТАЛЛАХ

*А. С. Погосян, О. П. Алешко-Ожевский, Ф. Н. Чужовский,  
И. И. Калашикова*

Использование рентгеновской топографии для визуализации акустических объемных и поверхностных акустических волн (ПАВ) в пьезо- и сегнетоэлектриках открывает новые возможности исследования физики дифракции рентгеновского излучения в периодически искаженных структурах. С другой стороны, становится возможным изучение распространения и взаимодействия акустических волн с дефектами кристаллической решетки в зависимости от частоты и амплитуды колебаний, а также от конструкции элемента, в котором распространяется ультразвук. Общие закономерности дифракции коротковолнового излучения в колеблющихся совершенных кристаллах в наиболее полной форме были установлены в [1]. Вопросам рентгеновской топографии кристаллов с ПАВ посвящены работы [2, 3], кристаллов с объемными колебаниями — работа [4].

В настоящей работе представлены первые результаты рентгенотопографического исследования кварцевого резонатора АТ-среза в виде квадратной пластинки размерами  $14 \times 14 \times 3$  мм и линии задержки на основе ПАВ в кристалле танталата лития У-среза. Использовался однокристалльный метод Лэнга на прохождении и отражении соответственно для наблюдения полей упругих деформаций в кварце и на поверхности танталата лития.

На рис. 1, а, б представлены топограммы кварцевого резонатора при дифракции от взаимно перпендикулярных плоскостей  $(2\bar{1}.0)$  и  $(0\bar{1}.2)$ . Частота ультразвукового резонанса 567.93 кГц, ток через кристалл при напряжении 20 В был равен 1.5 мА. В зависимости от направления вектора дифракции наблюдаемая на топограммах картина распределения напряжений существенно изменялась. Это позволило провести анализ деформационных полей. В рассматриваемом случае имела место деформация типа сдвиг—изгиб с модами колебаний  $n=3$ ,  $m=5$  в обозначениях работы [4]. Наблюдалось изменение картины деформаций в зависимости от расположения электродов и даже конструкции крепления образца.